

АКАДЕМИЯ НАУК ЛИТОВСКОЙ ССР
ИНСТИТУТ БОТАНИКИ

№ гос. рег.

Инвент. №

Индекс УДК

"

"утверждаю"

Директор Института ботаники

АН Литовской ССР

д.б.н., с.н.с.

/К.К. Янкевичас/

"..." 1975 г.

О Т Ч Е Т

по теме "Изучение солнечной активности Южной
Прибалтики в поздней части голоценена при помощи
дендроклиматологического и радиоуглеродного
методов"

Заключительный

1973. I кв. - 1975. IV кв.

Зам. директора по научной работе
д.б.н., проф. /А. Меркис/

Заведующий сектором
д.б.н., с.н.с. /А. Лекавичас/

Руководитель темы и ответственный
исполнитель к.с./х.н., с.н.с.

/Т. Битвинская/ 

Была проведена оценка исследованных районов по категориям прогностической ценности в отдельных фазах солнечной активности и установлены явные экстремальные отклонения в некоторых фазах солнечной активности и их особенности в отдельных климатических районах. После проведения дендрохронологического профиля Мурманская обл. - Литовская ССР - Закарпатская обл. появились новые возможности установить:

- a) объективно ли существуют установленные закономерности в Литовской ССР и в соседних районах с ней и более широких пространствах и установить особенности изменчивости радиального прироста в обхваченных исследованиями районах;
- б) сравнительная оценка существующих закономерностей и их прогностическая ценность;
- в) возможности продолжения установленных закономерностей и связей в далёкое прошлое;
- г) использование установленных закономерностей в прогнозических целях.

Попытка увязать солнечную активность с явлениями, в которые отражается в изменчивости радиального прироста насаждений, как видимо из выше изложенного в отчете, имеет свою достаточно аргументированную обоснованность. Основа, на которой построены наши расчёты, опирается на 9 22-летних циклов (столько имеем достоверных данных о солнечной активности), то есть немногим более 200 лет. Это, конечно, недостаточно для уверенной статистической обработки данных, когда 22-летние циклы рассматриваем, как отдельные, физически единые единицы. Связь между амплитудами солнечной активности и радиальным приростом в 22-летних циклах, как видели, проявляется не во всех районах одинаково. Например, по нашим расчетам оказалось, что такая ценная по своей

ИЗУЧЕНИЕ ВЛИЯНИЯ СОЛНЕЧНОЙ АКТИВНОСТИ В ПОЗДНЕЙ
ЧАСТИ ГОЛОЦЕНА ПРИ ПОМОЩИ ДЕНДРОКЛИМАТОЛОГИЧЕСКОГО
И РАДИОУГЛЕРОДНОГО МЕТОДОВ

0.0 Введение

Начало нашей работы положили исследования проведенные Т. Битвинским в 1965 г. и изложенные в его кандидатской диссертации 1965 г. По этому вопросу было опубликовано и ряд статей. После создания дендроклиматохронологической группы в Институте ботаники АН Лит. ССР работа была продолжена. Методика опубликованная в 1965 г. была усовершенствована, расширена и использована для других точек нашей страны (Новгородская обл., Южная Карелия). Полученные данные были опубликованы в отчете группы за 1971-1972 г.г. и в монографии Т.Т. Битвинского "Дендроклиматические исследования" (Гидрометеоиздат, 1974 г. стр. 118-131).

Кратко остановимся на достигнутом в это время:

1. Выявлена 22-летняя и одиннадцатилетняя цикличность радиального прироста сосны.

2. Различие цикличности в зависимости от условий местопроизрастаний.

3. Установлена линейная связь амплитуд радиального прироста сосны от амплитуд солнечной активности в 22-летних циклах.

Констатировано, что наиболее эта связь выражена в Литовской ССР, уменьшается в Новгородской и является незначительной в Южной Карелии.

Ряд интересных результатов было получено при изучении закономерностей радиального прироста насаждений в отдельных фазах и циклах солнечной активности. Так, например, было установлено, что наибольшие амплитуды радиального прироста сосны в условиях окрестностей г. Каунас проявляются на сухих и болотных, и наименьшие - на влажных условиях местопроизрастания.

Была проведена оценка исследованных районов по категориям прогностической ценности в отдельных фазах солнечной активности и установлены явные экстремальные отклонения в некоторых фазах солнечной активности и их особенности в отдельных климатических районах. После проведения дендрохронологического профиля Мурманская обл. – Литовская ССР – Закарпатская обл. появились новые возможности установить:

- а) объективно ли существуют установленные закономерности в Литовской ССР и в соседних районах с ней на более широких пространствах и установить особенности изменчивости радиального прироста в обхваченных исследованиями районах;
- б) сравнительная оценка существующих закономерностей и их прогностическая ценность;
- в) возможности продления установленных закономерностей и связей в далекое прошлое;
- г) использование установленных закономерностей в прогнозических целях.

I.0 Результаты исследования

Попытка увязать солнечную активность с явлениями, в которые отражается в изменчивости радиального прироста насаждений, имеет свою достаточно аргументированную обоснованность. Основа, на которой построены наши расчеты, опирается на 9 22-летних циклов, то есть немногим более 200 лет. Это, конечно, недостаточно для уверенной статистической обработки данных, когда 22-летние циклы рассматриваем, как отдельные, физически единные единицы. Связь между амплитудами солнечной активности и радиальным приростом в 22-летних циклах проявляется не во всех районах одинаково. Например, по нашим расчетам оказалось, что такая ценная по сво-

длине дендрошкала сосны сибирской (*Pinus aristata*), имеющая длину 7100 лет такой связи, по нашей методике, не показывает. Поэтому, более чем желательно, найти и другие методы, которые показали связь независимым путем. Такой путь существует. При решении проблемы "Астрофизические явления и радиоуглерод" академиком Б.П. Константиновым и проф. Г.Е. Кочаровым в 1965 г. было предсказано, что количество радиоактивного радиоуглерода в годичных колышах должно показать связь с солнечной активностью. Дендроклиматохронологическая группа Института ботаники АН Лит. ССР включилась в решение этой проблемы и представила физико-техническому Институту АН ССР более 500 годичных колец для радиоуглеродного анализа. На Тбилисском пятом всесоюзном совещании по проблеме "Астрофизические явления и радиоуглерод" в 1973 г. были обсуждены первые результаты специальных исследований.

Исследованный период за 1780-1838 г.г. Х.А. Арслановым, С.А. Румянцевым и др. [4] представляет почти полный 80-летний цикл солнечной активности. Сравнение временных ходов усредненных чисел Вольфа и экспериментальных данных по вариациям содержания радиоуглерода указывает на корреляцию, существующую между максимумом чисел Вольфа (или минимумом скорости генерации радиоуглерода в атмосфере Земли) и минимумом содержания радиоуглерода в атмосфере со сдвигом по фазе около 10 лет.

В.А. Алексеев, А.К. Лаврухина и др. [1] на годичных колышах секвойи за 1880-1915 г.г. показали, что несмотря на некоторый разброс отдельных значений, видна тенденция к увеличению C^{14} в те годы, когда активность Солнца возрастает. Между изменениями C^{14} и числами солнечных пятен коэффициент корреляции (r) равен +0,57.

А.А. Семенцов, С.А. Румянцев, Е.Н. Романова и др. исполь-

зая три наши модели (L-I, K-I, K-3) исследовали с некоторыми перерывами с 1564 по 1712 г. датированные годичные кольца, охватывающие два 8)-летние периода. Здесь было установлено, что вариации содержания радиоуглерода следуют за изменением солнечной активности с запаздыванием минимума содержания C^{14} после максимума цикла < 1 год.

В статье В.А. Дергачева и А.А. Санадзе [3] изложены результаты исследований выполненных по годичным кольцам периода 1761-1851 г.г. Они повторяют вывод работы [4] о зависимости концентрации радиоуглерода от воскового цикла солнечной активности. Минимум солнечных пятен опережает максимум содержания радиоуглерода в атмосфере примерно на 10 лет.

Выше изложенные результаты, которые в целом зависели от точности работы нашей группы, показывают, что изучение содержания радиоуглерода в годичных кольцах является вторым независимым методом, позволяющим восстановить солнечную активность за прошлое времена. Первым ключем для восстановления солнечной активности, как уже показано в наших исследованиях, является связь между амплитудами солнечной активности и амплитудами радиального прироста в 22-летних циклах.

Можно сказать доказанным, что установленные закономерности существуют за последние 200 лет - за последний, наиболее четко исследованный, период солнечной активности. Претендагая, что эти закономерности должны были существовать и в более ранние периоды, необходимо встановить эти закономерности, их периодичность, уровень изменчивости и установить их прогностическую ценность.

Создаваемые дендрошкины, видимо, будут иметь наибольшую ценность при их рассмотрении в глобальном масштабе. Организовать такие исследования предлагают американские исследователи

(приезжавший в Институт ботаники АН Лит. ССР проф. Г. Фритц из лаборатории Три-Ринг с Аризонского у-та) [10]. На юго-западе Североамериканского континента ими такие исследования уже проведены. В Советском Союзе первые дендрохронологические профили были проведены нами (профиль Мурманск - Литва - Ужгород) и свердловскими дендрохронологами (Север - Юг Урала). Начаты нами исследования по профилю Литовская ССР - Дальний Восток по 50-55 параллелям.

Проведенные дендрохронологические исследования до предела леса (Мурманское лесничество Мурманской области) позволили проверить, насколько установленные закономерности в более южных широтах 50-60°, проявляются на севере (65-70° параллелях).

Пофазное изучение изменчивости радиального прироста сосны (см. табл. 1) показало, что от Мурманска до Сагемы в периоды падения солнечной активности ($\bar{a} \downarrow c$ и $\bar{b} \downarrow d$) он наиболее изменчив. Мало уступает по изменчивости прироста и участки повышения солнечной активности ($c \uparrow \bar{b}$ и $d \downarrow \bar{a}$). Наименьшей изменчивостью, как и следовало ожидать, отличались приrostы сосны во фазах \bar{a} , c , d и особенно - \bar{b} (смотрите таблицы изменчивости радиального прироста в отдельных фазах солнечной активности в отчете 1974 года) и сводную таблицу № 1. Подобная закономерность была установлена в Южной Карелии (Суоярви) и в Новгородской области [2] и отличалась особенностями в Литве (здесь фаза d - второй минимум солнечной активности особенно изменчива).

В методике изучения изменчивости радиального прироста в отдельных фазах нами были проведены и некоторые изменения. Был расчитан не только высота амплитуды во фазах целом, но и рассчитана средняя годичная изменчивость радиального прироста в этих же фазах (см. таблицу № 2.3). Как и предполагали, средняя годичная изменчивость в отдельных фазах различается не так уж сильно. Но

Таблица № I

Амплитуды радиального пространства (Δ) в отдельных фазах солнечной активности на Севере Европейской части ССР

П.п. №	\bar{a}	$\bar{a} \downarrow \bar{c}$	\bar{c}	$\bar{c} \uparrow \bar{b}$	\bar{b}	$\bar{b} \downarrow \bar{d}$	\bar{d}	$\bar{d} \uparrow \bar{a}$	Пункт исследований
1	9.3	7.2	10.0	7.2	11.6	6.1	3.8	0.5	Кольский п-ов. Кольский л-хоз. Мурманское л-во
2	18.6	30.4	20.0	18.7	21.1	25.3	19.7	28.5	Кольский п-ов. Кандалакшский л-хоз. Кандалакшское л-во
3	22.9	21.0	17.2	22.6	10.7	25.6	17.4	17.5	КАССР. Чунинский л-хоз. Чунинское л-во
4	14.4	30.7	16.2	16.3	13.2	22.1	15.8	22.3	КАССР. Кесгентекский л-хоз. Тихшевозерское л-во
5	20.5	21.1	13.2	17.1	13.8	21.0	11.2	25.9	КАССР. Кесгентекский л-хоз. Топозерское л-во
6	21.6	23.0	17.7	20.5	19.8	27.6	16.1	21.6	КАССР. Кестенгский л-хоз. Тихшевозерское л-во
7	24.8	26.8	14.9	16.5	17.0	22.1	20.0	23.1	КАССР. Калевальский л-хоз. Уктинское л-во
8	13.2	18.7	14.4	17.7	12.8	30.0	17.6	18.4	КАССР. Калевальский л-хоз. Уктинское л-во
9	21.0	24.2	14.4	16.8	16.7	21.3	15.0	19.7	КАССР. Кемский л-хоз. Охтинское л-во
10	19.4	22.7	22.4	21.4	18.3	22.6	16.5	19.9	КАССР. 20-ый км от Сегежи на Пелевозерск
Ср. А	18.3	24.3	16.4	18.4	15.3	24.0	16.5	22.3	
	5	1	7	4	8	2	6	3	

Таблица № 2

Изменчивость толчного радиального прироста (Δ) в отдельных фазах солнечной активности на Севере Европейской части ССР

п.п.	δ	$\delta \downarrow c$	c	$c \uparrow b$	b	$b \downarrow d$	d	$d \uparrow a$	Пункт исследований
1	II,75	12,78	12,55	10,92	12,53	11,7	11,42	13,36	Кольский п-ов, Кольский л-хоз, Мурманское л-во
2	9,60	10,00	7,9	8,5	6,9	10,9	9,7	11,1	Кольский п-ов, Кандалакшский л-хоз, Кандалакшское л-во
3	12,95	13,59	10,85	13,85	6,25	10,71	11,88	14,78	КалССР, Чупинский л-хоз, Чупинское л-во
4	8,4	12,8	11,4	9,9	8,5	10,6	10,7	12,8	КалССР, Кестенгский л-хоз, Тикшозерское л-ро
5	12,5	7,9	9,1	9,9	8,9	9,0	7,7	14,5	КалССР, Кестенгский л-хоз, Топозерское л-во
6	13,87	9,1	10,9	10,0	9,7	11,5	13,0	10,4	КалССР, Кестенгский л-хоз, Тикшозерское л-во
7	15,8	10,8	9,4	9,4	10,4	10,4	11,1	13,4	КалССР, Кавальский л-хоз, Ухтинское л-во
8	6,95	7,28	8,6	10,8	8,65	13,0	10,5	10,8	КалССР, Калевальский л-хоз, Ухтинское л-во
9	13,4	12,9	9,1	11,1	9,9	7,9	10,0	11,5	КалССР, Кемльский л-хоз, Охтинское л-во
10	10,6	10,1	16,3	11,5	10,1	8,5	10,3	10,1	КалССР, 20-й км от Сережи на Медvezgorск
Ср. А	II,58	10,92	10,61	10,58	9,1	10,49	10,86	12,49	
	2	3	5	6	8	7	4	1	

Таблица № 3

Средние годичные амплитуды радиального прироста сосны в индексах в отдельных фазах солнечной активности на западе Европейской части ССР

Н.П.	\bar{a}	$\bar{a} \downarrow \bar{c}$	\bar{c}	$\bar{c} \downarrow \bar{b}$	\bar{b}	$\bar{b} \downarrow \bar{d}$	\bar{d}	$\bar{d} \uparrow \bar{a}$	Пункт исследований
1	8,92	12,II	12,5	8,4	9,28	13,16	13,42	8,42	Барановичский л-хоз, Леснянское л-во
2	14,0	15,83	17,66	12,4	11,77	11,7	13,33	11,28	Пружанский л-хоз, Березовское л-во
3	9,3	10,0	10,8	13,6	7,9	9,6	5,7	6,9	Беловежский заповедник, Беловежская пуща
4	13,14	12,81	13,71	22,28	10,14	16,0	16,08	12,87	Брестское л-ро Брестское л-ро
5	16,28	17,54	18,85	8,33	17,78	17,64	21,07	19,11	Ковельский л-хоз, Замшинское л-во
6	14,71	13,32	10,14	6,24	12,5	15,38	16,35	15,42	Радеховский лехоз, Бабичье л-во
7	4,3	11,5	12,9	9,1	14,4	19,8	13,8	12,0	Несторовский л-хоз, Несторовское л-во
8	7,2	16,65	11,3	11,3	13,5	15,5	13,7	10,5	Самборский л-хоз, Супишинское л-во
9	8,5	11,12	7,38	18,58	9,41	13,12	9,7	13,52	Горнянский лесокомбинат, Костинское л-во
10	23,3	12,6	6,7	10,1	15,3	17,1	5,0	19,2	Перечинский лесокомбинат, Турье-Реметское л-во
Ср. А	11,36	13,39	10,39	13,19	12,2	15,0	12,85	12,82	
	7	2	8	3	6	1	4	5	

Таблица № 4

Амплитуды рационального прироста (A) в отдельных фазах и 22-летних солнечной активности в % на западе Европейской части ССР

П.п.	\bar{a}	$\bar{a} \downarrow \bar{c}$	\bar{c}	$\bar{c} \uparrow \bar{b}$	\bar{b}	$\bar{b} \downarrow \bar{d}$	\bar{d}	$\bar{d} \uparrow \bar{a}$	Пункт исследований
1	27,3	44,5	28,0	26,5	18,4	36,2	22,2	26,4	Прудянский л-хоз, Березовское л-во
2	15,7	25,9	21,2	20,9	10,4	22,4	8,6	14,0	Беловежский заповедник,
3	19,57	38,85	26,57	29,29	27,85	31,16	22,0	21,66	Брестский л-хоз, Брестское л-во
4	24,14	41,14	29,14	16,28	26,14	32,14	32,42	36,85	Ковельский л-хоз, Заманское л-во
5	22,42	36,57	15,14	13,28	17,71	32,0	26,14	21,28	Радеховский л-хоз, Басичье л-во
6	6,7	52,0	24,0	17,8	24,8	38,0	24,0	17,0	Несторовский л-хоз, Несгоровское л-во
7	13,0	29,7	16,0	21,5	19,8	27,7	19,0	14,3	Самборский л-хоз, Сулиманянское л-во
8	16,6	28,8	15,3	23,0	16,0	13,6	22,4	27,2	Горицкий л-хоз, Костинское л-во
9	20,7	40,7	37,0	40,7	20,7	28,5	7,0	27,7	Перечинский лесокомбинат,
Cр. A	18,5	37,6	23,6	23,2	20,2	29,0	20,3	22,9	Турье-Реметское л-во
	8	1	3	4	7	2	6	5	

характерно то, что с наименьшей изменчивостью отличалась все-таки фаза \bar{b} – второй максимум солнечной активности.

Для прогностики изменчивости условий макросреды особенно ценным является установление трендов – направления изменчивости радиального прироста насаждений и их величины.

На Европейской части Севера, как показали данные нашего профиля, четко выделились фазы $\bar{a} \downarrow c$, \bar{b} , d со знаком "плюс" и фазы \bar{a} , c , $c \uparrow \bar{b}$ и $d \uparrow \bar{a}$ со знаком "минус". Похожую картину получаем, если преобразование трендов выражаем в индексных процентах (см. рис. № 7 и таблицу № 7.8).

К сожалению, в более южных районах страны трудно найти высоковозрастные насаждения сосны и нами заложенные пробные площади были более коротких возрастов и охватывали от двух до 6-ти 22-летних периода. Поэтому пока нельзя во всех этих пунктах исследований достоверно установить линейность связи изменчивости радиального прироста с 22-летними циклами солнечной активности, хотя в более высоковозрастных насаждениях Западной Белоруссии и Западной Украины такая связь наблюдается. Как абсолютная ширина годичных колец, так и амплитуда их изменчивости в южных районах выше на 25 %. Как и на севере, амплитуда изменчивости во фазах $c \uparrow \bar{b}$, $\bar{b} \downarrow d$, $d \uparrow \bar{a}$ и особенно $\bar{a} \uparrow c$ (37,6 %) выше, чем во фазах \bar{a} , c , d и особенно – \bar{b} (15,3 %). Здесь и годичные амплитуды радиального прироста подвергается сходным изменениям (на 17,5 % выше, меньшие изменения – во фазах минимумов и максимумов солнечной активности).

С другой стороны тренды – направления изменчивости радиального прироста из года в году на Севере и юге профиля идут как бы противофазно (см. табл. № 9).

Таблица № 5

Преобразование определенных трендов (T) в отдельных фазах
солнечной активности выраженное через количественные показатели
(индексные $\%$) в западных районах Украины и Белоруссии в %

Н.П. №	\bar{c}	$\bar{c} \downarrow \bar{c}$	\bar{c}	$\bar{c} \uparrow \bar{b}$	\bar{b}	$\bar{b} \downarrow \bar{d}$	\bar{d}	Пункт исследования	
								144+	Барановичский л-хоз. Леснянское л-во
1	128-	I-	63+	II+	0	35-	61-	23+	Пружанский л-хоз. Березовское л-во
2	13+	7+	153+	III+	60-	57+	45-	74+	Беловежский заповедник. Беловежская пуща
3	I-	32-	327+	78-	122-	20+	19+	38-	Гродненский л-хоз. Брестское л-во
4	19-	116-	50+	72-	3-	2-	I+	I+	Ковельский л-хоз. Заманское л-во
5	131-	I+	75+	50-	0	3-	41+	I+	Радеховский л-хоз. Бабиче л-во
6	123+	62-	29+	32-	143-	33+	232+	136-	Нестеровский л-хоз. Нестеровское л-во
7	88+	137-	820+	10+	110-	15-	213+	68-	Самборский л-хоз. Судовицкий л-хоз.
8	130+	51-	41+	II-	56-	8+	10+	137+	Хорнавский лесокомбинат. Костинское л-во
9	29-	86-	7-	78+	220-	50+	74-	17-	Перечинский лесокомбинат. Турье-Реметское л-во
10	22-	418-	320+	29-	4-	28+	37+	66+	
Статистическая языковая единица	8,4+	91,6-	246,8+	I+	71,8-	I7,I+	37,3+	12,6+	
тренда	0	0	0	0	0	5	7	6	+
					1	4	3	4	-
					0	0	2	1	0

Таблица № 6

Преобразование определенных трендов (T) в отдельных фазах
солнечной активности в северо-западных районах Европейской части СССР в зону

п.п.	\bar{C}	$\bar{C} \downarrow \Sigma$	Σ	$\Sigma \uparrow \bar{C}$	\bar{b}	$\bar{b} \downarrow \bar{d}$	\bar{d}	$\bar{d} \uparrow \bar{a}$	Пункт исследований
1	23+	I8-	25-	27-	II+	II+	II+	I4+	Кольский п-ов, Кольский л-хоз, Мурманское л-во
2	II-	27+	226-	I8-	I2+	0	42+	8-	Кольский п-ов, Кандалакшский л-хоз, Кандалакшское л-во
3	II-	5-	25-	50-	7I+	5+	0	77-	КАССР, Чунинский л-хоз, Чунинское л-во
4	37-	27+	37-	55-	II+	42-	I40+	44-	КАССР, Кестенгский л-хоз, Тихоозерское л-во
5	II-	60+	142-	60-	II+	6-	I00+	8-	КАССР, Кестенгский л-хоз, Топозерское л-во
6	0	27-	II+	0	22+	II+	83+	I6+	КАССР, Кестенгский л-хоз, Тихоозерское л-во
7	II-	36+	37-	66-	83+	57+	I2+	0	КАССР, Калевальский л-хоз, Ухтинское л-во
8	42-	22+	25+	0	II-	25+	I2+	4-	КАССР, Калевальский л-хоз, Ухтинское л-во
9	73-	I9+	67-	15-	28+	21-	33+	4-	КАССР, Кемьский л-хоз, Охтинское л-во
10	0	I0+	50-	55-	25+	42-	I2-	20+	КАССР, 20-й км от Сегежи на Медвежегорск
Статистическая изменчивость тренда	I7,3-	I5,3+	47,3-	34,6-	27,3+	0	33,7+	II,8-	+ 3 - 6 1 1 0 0 0 0

Таблица № 7

Преобладание определенных тренлов (Т) в отдельных фазах солнечной активности в западных районах Украины и Белоруссии в %

Таблица № 8

Преобразование определенных трендов (T) в отдельных фазах
солнечной активности в западных районах Европейской части СССР в %

П.п. №	\bar{d}	$\bar{d} \downarrow \bar{s}$	\bar{s}	$\bar{s} \uparrow \bar{b}$	\bar{b}	$\bar{b} \downarrow \bar{d}$	\bar{d}	$\bar{d} \uparrow \bar{a}$	Пункт исследований
1	16+	30+	33+	0	33+	33+	33-	33-	Лесянское л-во Барановичский л-хоз
2	175+	6+	100+	27-	12-	58+	28+	20+	Березовское л-во Пружанский л-хоз
3	66+	23-	57+	18+	42-	35+	12+	27+	Беловежский заповедник Беловежская пуща
4	60-	7+	233+	25-	80-	75+	20+	175+	Брестский л-хоз. Брестское л-во
5	16+	6+	0	25-	16-	16+	33+	33-	Ковельский л-хоз. Замшинское л-во
6	150+	7-	150+	25-	33-	10+	150+	10+	Радеховский л-хоз. Бабичье л-во
7	100+	57-	150+	166+	66-	20+	150+	33-	Несторовский л-хоз.
8	0	60-	100+	33+	150-	50+	100+	100+	Самборский л-хоз. Судовицкое л-во
9	25+	20-	25-	42+	166-	71+	50-	20-	Хорнавский лесокомбинат. Костинское л-во
10	0	233-	400+	33-	0	33-	100+	33+	Перечинский лесокомбинат. Турье-Реметское л-во
Статистическая из-менность тренда	54,8+	35,1-119,8+	12,4+	53,2-	33,5+	51,0+	26,9+	+ - 0	

Таблица № 9

Фазы с.а.	\bar{a}	$\bar{a} \downarrow c$	c	$\underline{c} \uparrow b$	\bar{b}	$\bar{b} \downarrow d$	d	$d \uparrow q$
Север	17,3-	15,3+	47,3-	34,6-	27,3+	0	33,7+	11,8-
Юг	54,8+	35,1-	II9,8+	I2,4+	53,2-	33,5+	51,0+	26,9+

Иключение, как видим, составляет только фаза „ d “ – второй максимум 22-летнего цикла в котором и на Юге и на Севере преобладают тренды положительные. Сопоставление изменчивости трендов на Севере и Юге профиля выраженных количественными показателями (в индексных процентах) дают следующую картину (таблица № 10):

Таблица № 10

Фазы с.а.	\bar{a}	$\bar{a} \downarrow c$	c	$\underline{c} \uparrow b$	\bar{b}	$\bar{b} \downarrow d$	d	$d \uparrow q$
Север	33,4-	9,8+	87,8-	51,7-	59,6+	7,4+	101,3+	6,5+
Юг	8,4+	91,6-	247,8+	I,0+	71,8-	I7,I+	37,3+	I2,6+

Как видим, в большинстве случаев этот метод дает более выразительные данные, особенно во фазах $\bar{a} \downarrow c$ и c .

И для "северных", и для "южных" данных было использовано по 10 исследовательских пунктов. О достоверности трендов можно судить по статистической повторяемости преобладающих трендов в отдельных фазах солнечной активности (таблица № II):

Таблица № II

Фазы с.а.	\bar{a}	$\bar{a} \downarrow c$	c	$\underline{c} \uparrow b$	\bar{b}	$\bar{b} \downarrow d$	d	$d \uparrow q$
<i>с "положительным" знаком пр. пл.</i>								
Север	I	7	2	0	9	5	8	3
Юг	7	4	8	4	I	9	8	6
<i>с "отрицательным" знаком пр. пл.</i>								
Север	7	3	8	9	I	4	I	6
Юг	I	6	I	5	8	I	2	4
<i>БЕЗ преобладания знака пр. пл.</i>								
Север	2	0	0	I	0	I	I	I
Юг	2	0	I	I	I	0	0	0

Как видим по этим данным, с довольно большой достоверностью можно предсказать преобладание трендов приростов сосны для шести фаз на Севере и пяти - на Юге*. Конечно, для предсказания тренды в определенном году нужно хорошо представить себе и физико-экологическую основу изменений условий среды. Эту работу по данному профилю только начинаем и поэтому давать рекомендации по годичным прогнозам еще рано. Они будут дифференцированы для определенных широт и долгот.

Для удачного прогноза, по нашей методике необходимо иметь: достоверный прогноз солнечной активности по крайней мере на 10 лет, отлично знать об приростных явлениях во время прогнозируемых фаз солнечной активности, об экологических изменениях в различных в условиях местопроизрастаний, особенно различающихся по режиму влаги. Знать о современном состоянии насаждений определенных древесных пород и уровень радиального прироста. Иметь разработанные комплексные климатические показатели отражающие годичную динамику радиального прироста. Иметь представление об эпохе атмосферной циркуляции и космических факторов, влияющих на изменения в атмосферной циркуляции, математизировать и статистически обосновать установленные закономерности.

Результаты построения высоковозрастных дендрошкал

Радиоуглеродный метод определения возраста в последнее время стал использоваться в дендрохронологических исследованиях [2] и др.], которые, в свою очередь, широко используются в археологии, этнографии, климатологии, астрофизике, лесоводстве и в других

*Под "Севером" понимаем часть профиля Мурманск-Ужгород от Мурманска до Сегежи и под "Югом" - от Барановичей до Ужгорода. Результаты исследований по средней части профиля (Литва) даны в монографии "Дендроклиматологические исследования".

науках. Известно, что для дендрохронологического метода большую ценность представляют высоковозрастные деревья и насаждения. Однако только в нескольких районах Земли найдены тысячелетние живые деревья (и тем более - насаждения), которые могут представить беспрерывную погодичную информацию о бывших условиях среды. В южной Прибалтике возраст деревьев, которые можно использовать для составления дендрошкал, не превышает 250-350 лет. В следствие этого в дендроклиматохронологической лаборатории Института ботаники Академии наук Литовской ССР в настоящее время ведется работа по созданию высоковозрастных дендрошкал методом перекрестного датирования, используя следующие виды деревьев: 1) сосну обыкновенную (*Pinus sylvestris L.*), 2) дуб обыкновенный (*Quercus robur L.*).

Методы сбора дендрохронологического материала
и результаты радиоуглеродного датирования

Торфяное месторождение "Укпялью Тирялис". Торфяник "Укпялью Тирялис" расположен в северо-западной Литве (в Кемайтии), в Шлунгской районе 3 км к северу от города Плателяй. Торфяник "Укпялью Тирялис" осущен открытыми канавами, середина торфяника, представленная слабо разложившимся сфагновым торфом, разработана до 1-2-метровой глубины. Окраинные части торфяника (глубина - до двух метров) слагаются из переходного высокой пнистости сосново-сфагнового торфа, в нижней части переходящего в древесно-осоковый и ольховый торф. Пни сосны - хорошей сохранности. Их длина достигает до 20-40 см, возраст - до 240 лет, в среднем - до 120 лет. Ширина годичных колец пней сосны имеют ярко выраженный, меняющийся во времени, ритмический характер. Последний, как свидетельствуют результаты изучения современных лесов [2], по-видимому, отражает динамику осадков.

Таблица № 12

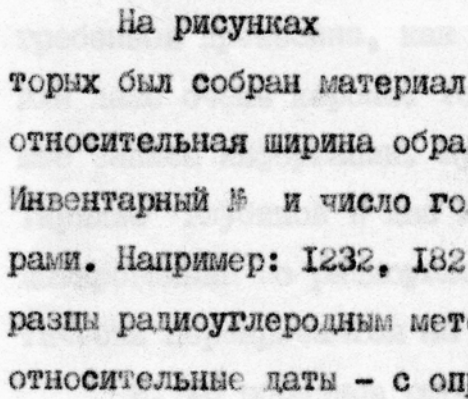
Радиоуглеродные даты пресенины болотной сосны

П.п. №	Инвентарный № образца	Глубина взятия образца №	Число гориц- ных колен в образце	Латированные гороичные коль- ца	Радиоуглеродная дата (считан от 1950 г. н.э.)
I	1282	010	III	67-III	современный
2	444	0132	91	48-67	TA-76) 130±40
3	1273	0832	190	II-190	TA-658 45±40
4	1284	0774	132	66-75	TA-630 650±70
5	1285	0932	174	II-129	TA-757 760±40
6	1321	1252	170	146-155	TA-584 830±80
7	1226	II32	177	13I-140	TA-529 860±80
8	1287	1022	148	3I-40	TA-543 900±40
9	1332	1568	170	75-104	TA-763 995±40
10	1232	0922	182	154-163	TA-545 1040±40
11	1376	1672	236	129-138	TA-546 1210±40
12	1273	1462	223	48-57	TA-544 1295±40
13	551	1612	150	6I-150	TA-765 1450±70
14	1413/553	1269	220	56-157	TA-762 1540±60
15	484	1584	170	II5-134	TA-761 1610±50
16	1352/550	1852	190	II6-165	TA-764 1680±50
17	1416	1772	214	143-152	TA-631 1764±80
18	1383	2162	120	24-53	TA-767 1950±60
19	1372	2144	123	97-106	TA-585 1980±40
20	1384	1894	109	62-71	TA-586 1990±40
21	1401	2484	145	63-72	TA-542 2050±50
22	1365/303	2401	120	83-102	TA-766 2080±70
23	1396/556	2014	126	71-105	TA-768 2020±50

Таблица № 13
Радиоуглеродные даты древесины сморгоньских дубов

п.п. №	Минимтарный № образца	Цвет превесины	Число радио- колец в образ- це	Датированние го- дичные колльца	Радиоуглеродная дата (считая от 1953 г.н.э.)
I	242	Коричневый	179	147-156	-73 ± 50
2	236	"	156	139-150	-70 ± 60
3	235	Черный	305	218-228	-62 ± 60
4	244	Коричневый	179	135-144	-65 ± 60
5	241	Красноватый	287	203-212	-64 ± 60
6	232	Черный	96	85-94	-68 ± 60
7	245	"	236	148-157	-66 ± 60
8	234	"	III	68-73	-69 ± 60
9	243	"	III	74-83	-74 ± 60
X	239	Черноватый	III	39-108	-71 ± 60
II	246	Красноватый	307	243-252	-75 ± 60
12	238	Черный	191	51-60	-63 ± 60
13	231	"	103	85-94	-67 ± 40
14	240	"	63	39-46	-72 ± 70
15	249	"	76	49-50	-77 ± 70
16	233	"	157	I-II	-61 ± 70

В шурфах, в среднем, обнаружено по одному пню на два кусческие метра торфа. Из 750 экземпляров пней отобранных в торфяном месторождении "Ужпялью Тирялис", при помощи радиоуглеродного метода в Радиоуглеродной лаборатории Института Зоологии и ботаники Академии наук Эстонской ССР датированы 23 (таблица № 12), отобранные в различных по глубине слоях торфа. Для получения радиоуглеродной даты было выделено от 10 до 109 годичных колец (чтобы вес взятых для анализа годичных колец был не менее 100-150 г. воздушно-сухой древесины). Остальные 727 образцы древесины проанализированы при помощи дендрохронологического метода: построены графики ширины ранней, поздней и годичной древесины, а также рассчитаны годичные индексы для каждого образца древесины. Большинство измерений проведено по двум радиусам. Относительно небольшая часть древесных образцов является не пнями, а поваленными стволами, длина которых - до 2-х и более метров. В нижних (низинных) слоях торфа сохранность древесины (главным образом - ольхи черной) - плохая и для дендрохронологических исследований она является не годной.

На рисунках  показаны два основных шурфа, в которых был собран материал на двухметровой глубине. Длина и относительная ширина образцов древесины выражены относительно. Инвентарный № и число годичных слоев в образце показаны цифрами. Например: I232, I82 и I70. Датированные древесные образцы радиоуглеродным методом отмечены черным цветом, а их относительные даты - с определенной погрешностью.

Песчано-гравийные отложения пойменной террасы р. Вилия (Нерис) вблизи г. Сморгонь (БССР). Стволы дуба в отложениях р. Вилия (Нерис) вблизи г. Сморгонь (БССР) мешают работе гидронасосных агрегатов, извлекающих песок и гравий со дна реки и из отложений пойменной террасы. Результаты радиоуглеродного датирования отдельных стволов дуба (древесина II-ти годичных слоев, воздушно-сухой вес которых равняется 200-300 г), выполненного в Радиоуглеродной лаборатории Института ботаники Академии наук Литовской ССР [6], представлены в таблице 13. Небезинтересно отметить, что ранее выполненные аналогичные исследования [8,9] представляют фрагменты эволюции болот, продолжительность которых по данным дендрохронологического метода, равняется от 200 до 300 лет. Распределение датированных радиоуглеродным методом сморгонских образцов дуба показаны на рис.

Выводы. 1. В естественных природных условиях законсервированная древесина может стать очень ценным источником климатологической информации. В сфагновых болотах и в речных отложениях погребенная древесина, как правило, сохраняется удовлетворительно или даже очень хорошо. Торфяники содержат практически неисчерпаемые запасы информации. Шурфы торфяного месторождения "Унилько Тирялис" глубиной в два метра представили информацию за 2100 лет. Датированные по радиоуглероду образцы (серии годичных колец) практически перекрываются на протяжении всего этого периода.

2. 16 образцов сморгонских дубов, датированных при помощи радиоуглеродного метода, представили дендрохронологическую информацию за последние 6000 лет - от современности до 5700 лет т. н. Этот период радиоуглеродными датами перекрыт примерно на одну треть. Поскольку запас накопленных образцов сморгонских дубов превышает 100 экземпляров, можно предположить, что дендро-

хронологически проанализированные, при помощи радиоуглеродного метода датированные им математически синхронизированные образцы будут служить для создания почти сплошной сверхдолгосрочной дендрошкалы.

3. Наш опыт показывает, что и в условиях средней и северо-восточной Европы существуют реальные возможности создания сверхдолгосрочных дендрошкал. Погодичную информацию можно получить за весь послеледниковый период в районах, где существовала древесная растительность. О наличии сходных сморгоньских песчано-гравийным карьерам объектов сообщались в печати (около реки Припять в БССР) и реки Дунай (в Австрии) [5, 7]. Торфяники, пригодные для дендрохронологических исследований, можно найти почти во всех странах средней и северной Европы. И уже теперь необходимо очень осторожно обращаться с поверхностным растительным покровом подходящих для исследований, то есть очень пнистыми торфяниками, сохраняя их для научно-исследовательских целей. Предполагаем, что дендрохронологическая информация будет иметь значительный вес при многолетних прогнозах изменчивости макро- и глобальных условий биосферы. Сохраненная древесина, служившая для построения сверхдолгосрочных дендрошкал, в будущем будет использована для полноценных и широких астрофизических и геофизических исследований, опираясь на количественные изменения в содержании C^{14} и прочих изотопных элементов в годичных кольцах.

Литература

1. Алексеев В.А., Лаврухина А.К., Мильникова З.К., Смирнов И.В., Сулержицкий Я.Д. Солнечные космические лучи и вариации содержания радиоуглерода в атмосфере Земли. В сб.: Труды пятого всесоюзного совещания по проблеме "Астрофизические явления и радиоуглерод", 39-46, Тбилиси, 1974.
2. Битвинская Т.Т. Дендроклиматические исследования. Ленинград, 1974.
3. Дергачев В.А., Санадзе А.А. Концентрация C^{14} в дендрохронологически датированных образцах. В сб.: Труды пятого всесоюзного совещания по проблеме "Астрофизические явления и радиоуглерод", 63-71, Тбилиси, 1974.
4. Кочаров Г.Е., Арсланов Х.А., Дергачев В.А., Румянцев С.А., Чернов С.В., Гончаров В.Ф. Солнечная активность и концентрация C^{14} в древесных колышах 1780-1838 г.г., измеренная на одноканальной спиритуационной установке со стабилизацией световым импульсом. В сб.: Труды пятого всесоюзного совещания по проблеме "Астрофизические явления и радиоуглерод", 19-38, Тбилиси, 1974.
5. Матуковский Н. Клад со дна реки. "Известия", 15 марта 1972 года,
6. Шулия К.С., Килькене В.А., Креневичус Р.И. Измерения концентрации естественного радиоуглерода и радиоуглеродное датирование в лаборатории Института ботаники Академии наук Литовской ССР, Рукопись.
7. Günther J. Auf der Spur vergeschichtlicher Katastrophen, Grün des Gartenmagazin, 1972, №. 12, S. 24-29.
8. Huber B., Meiss W., Jahreschronologische Synchronisierung der jungsteinzeitlichen Siedlungen Theyingen-Weier und Busgaschisee - Süd und Südwest. Bern. Sond aus. Germania,

- 1963, 41, 1, S 1-9.
9. I. Munaut A.V., Etude paleoekologique d'un gisement tourbeux situe a Terneuzen (Pays-Bas.). Berichten van de Bijks dienst voor het Ondheidkundig Bodemonderzoek, J. 17, 1967.
10. Summary of Proposals for International cooperation in the field of tree-ring research. International Workshop on dendroclimatology. Tucson, Arizona, 1974.
- II. Кочаров Г.Е., Дергочев В.А., Семенцов А.А., Румянцев С.А., Романова Е.Н., Маланова Н.С., Свеженцев Ю.С. Концентрация радиоуглерода в древесных колышах 1564-1583, 1593-1615, 1688-1712 г.г. В сб. "Труды пятого всесоюзного совещания по проблеме "Астрофизические явления и радиоуглерод", 47-60.